

# VYSOKOFREKVENČNÝ HMOTOVÝ SPEKTROMETER

VIKTOR MARTIŠOVITŠ, Bratislava

## ÚVOD

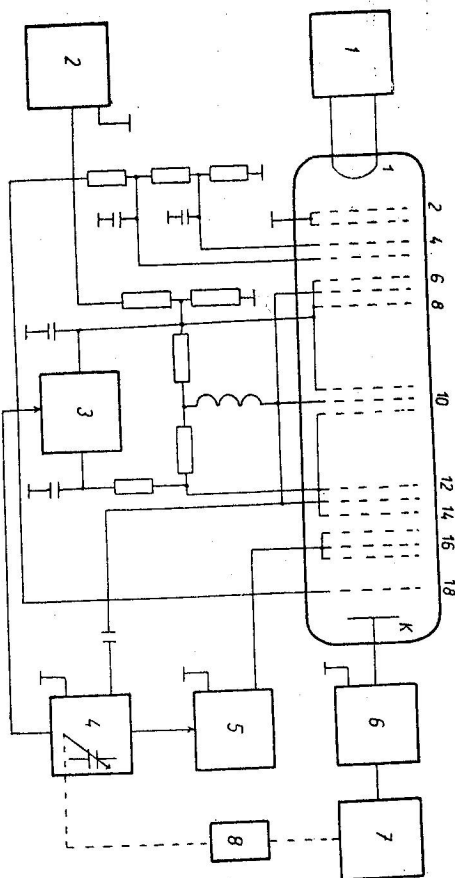
Je opísaná konštrukcia vysokofrekvenčného hmotového spektrometra Bennethovho typu s trojstupňovým analyzátorom (5 a 7 cyklový priestor bez pola).

Uvedená je aj technológia výroby mriežok pre spektrometer. V závere sú základné údaje spektrometra a spomenuté sú možnosti aplikácie. Podľa dvoch pripojených záznamov hmotových spektier možno posudíť rozlišovaciu schopnosť a citlosť zariadenia.

## OPIS SPEKTROMETRA A KONŠTRUKCIA

Obmedzíme sa iba na veľmi stručný výsklad činnosti (podrobnejšie pozri [1-3]). Žeravá katóda 1 (obr. 1) emituje elektróny, ktoré sú urýchlené elektrickým polom.

V priestore medzi mriežkami 2 a 3 ionizujú napúštaný plyn. Ióny, ktoré difundujú do priestoru medzi mriežky 3 a 4, sú ďalej urýchlené mriežkami 4, 5 a 6, pričom elektróny v tomto poli sú zabrdené. Pred vstupom do analyzátoru (mriežky 6 až 14) majú všetky ióny rovnakú energiu (ak sú jednonásobne ionizované), avšak ich rýchlosť sú rôzne v závislosti od hmoty. Príastok energie iónov v analyzátori je závislý



Obr. 1

od času, v ktorom ión vstupuje do analyzátoru, a od jeho rýchlosťi. Závislosť ziskanej energie od rýchlosťi sa využíva na separáciu iónov podľa pomery  $m/e$  tak, že ióny z analyzátoru vstupujú do brzdaceho pola (mriežky 15, 16, 17), cez ktoré prejdú iba ióny s maximálnou energiou, t. j. s určitým pomerom  $m/e$ , a dopadnú na kolektor  $K$ , kde sú zaregistrované. Mriežka 18 s vysokým zápornym potenciáлом vracia sekundárne elektróny späť na kolektor. Ak  $U_i$  je urýchľujúce napätie iónov,  $s$  vzdialenosť medzi mriežkami v jednotlivých stupňoch (t.j. medzi 6 a 7; 7 a 8 atď.) a  $f$  je frekvencia vysokofrekvenčného napäcia privádzaného na mriežky 7, 10, 13, dopadnú na kolektor ióny s hmotou podľa vzáruhu [1-3]:

$$M = \frac{0,266 \cdot U_i}{s^2 f^2} \quad [\text{V; cm; MHz}] \quad (1)$$

Dĺžky  $d$  priestorov bez pola (medzi 8 a 9; 11 a 12) musia spĺňať vzťah (pozri [1; 3]):

$$d = (2,7\lambda - 2) s, \quad (2)$$

kde  $\lambda$  udáva, kolko je cyklový priestor bez pola. Ak  $U_0$  je špičková hodnota vysokofrekvenčného napäcia a  $U_b$  velkosť potenciálu na mriežke pre brzdacie pole, potom rozlišovacia schopnosť trojstupňového analyzátoru s  $\lambda_1$  a  $\lambda_2$  cyklovými priestormi bez pola je dana výrazom [3]:

$$R = \frac{\pi}{6\sqrt{2}} \cdot \sqrt{\frac{\lambda_1^2 + \lambda_2^2 + (\lambda_1 + \lambda_2)^2}{1 - K}} + 0,5; \quad (3)$$

$$\text{kde } K = \frac{U_b}{4,3 \cdot U_0}.$$

Na obr. 1 je naznačená aj bloková schéma elektronických obvodov, ktoré sú potrebné na prevádzku vysokofrekvenčného hmotového spektrometra. Stabilizátor emienného prúdu 1 udržuje konštantný elektrónový prúd zmenou žhaviaceho prúdu katódy. Vysokofrekvenčné napätie pre analyzátor sa získava z vf. generátora 4, ktorého frekvencia sa dá meniť od 2-5,2 MHz.

Zmena frekvencie sa dejte spojite pomocou motora 8, ktorý súčasne s otáčaním kondenzátora v generátore posúva papier v zapisovacom prístroji 7. Usmerňením vysokofrekvenčného napäcia sa získava referenčné napätie pre stabilizovaný zdroj brzdiaceho potenciálu 5, čím sa zaistí konštantný pomér  $K$  pri malých zmenach vysokofrekvenčného napäcia. Usmerňovač 3 vf. napäťa zapojený ako zdrojovovač napäťa zavádzá do druhého stupňa analyzátoru kompenzačné napätie, ktoré kompenzuje príastok energie iónu v druhom stupni, v dôsledku čoho cez oba priestory bez pola prechádzajú ióny rovnakou rýchlosťou. Toto je nutné pre zaistenie maximálnej rozlišovacej schopnosti.

Ostatné rovnomerné napäcia pre napájanie spektrometra sa získavajú deličmi z elektronickej stabilizovaného zdroja 2. Iónový prúd v obvode kolektora sa zosilňuje zosilňovačom 6, ktorého výstup je napojený na zapisovací prístroj 7.

Niekteré elektronické zariadenia opísané súručne ďalej.

Pri konštrukcii analyzátora sa vzdialenosť medzi mriežkami v jednotlivých stupňoch volili  $s = 3,57$  mm. Túto vzdialenosť tvoria sklenené dištančné kritzky a hrúbka plechu na ráme mriežky. Sklenené kružky sú vybrusené s presnosťou 0,01 mm, avšak v dôsledku deformácie rámov na mriežkach vznikajú odchylyky maximálne  $\pm 0,04$  mm. To ješt  $s = 3,57 \pm 0,04$  mm.

5-cyklový priestor bez pola má rozmer  $d_1 = 40,95 \pm 0,1$  mm a 7-cyklový  $d_2 = 60,25 \pm 0,1$  mm. Tieto vzdialenosťi sú udžiajavajú oceľovými rúrkami, na ktoré sú súčasne upevnené tieniacie pláste priestorov bez pola. Celková dĺžka analyzátora až po kolektor je 150 mm. Iónový zdroj je pozdĺžny, ako vidno aj z obr. 1. Použitie priečneho typu by asi zlepšilo niektoré vlastnosti spektrometra, klesla by najmä diskriminácia niektorých hmôt v zdroji (pozorovalo sa u kysika). Katóda v zdroji je z volfrámového drôtu  $\varnothing 0,2$  mm v tvare špirály.

Spektrometer je celokovový. Tesnenie prírub je nožového typu s olovenou tesniacou vložkou. Elektrické privody do vákuu sú rišené pomocou porcelánových rúrok s pokovanými okrajmi. Tieto rúrky sú nasprájkované do prírub pomocou mäkkej cínovej spájky. Celková dĺžka spektrometra bez elektrických privodov je 280 mm a priemer mimo prírub je 70 mm.

Pri použití kovovej rúrky na spektrometer treba brať do úvahy zníženie potenciálových bariér u steny, v dôsledku čoho sa nabité časticie (ióny aj elektróny) môžu dosťať na kolektor, čo vyvoláva rušivé pozadie; jeho úroveň je závislá od celkového tlaku v aparatu. Tomuto efektu možno zabrániť použitím vhodných kovových cloniek v tvare medzikruží pri kovovej stene rúrky.

## TECHNOLÓGIA VÝROBY MRIEŽKY

Najnáročnejšia časť spektrometra na zhotovenie sú mriežky v analyzátore. Musia byť dosťatočne husté, aby pole medzi nimi bolo homogénné, ale súčasne aj dosťatočne priezačné, aby čo najmenej zachytávali ióny. Bola vypracovaná nová technológia výroby mriežok, využívajúca niektoré poznatky z [3] pomocou krátkodobého ohrevu v jednoduchej vodíkovej peci. Sama mriežka pozostávala z kruhového rámu, ktorého stredná časť bola vytlačená a bola opatrená kruhovým otvorom o priemere 30 mm, cez ktorý boli paralelne napnuté volfrámové drôty o hrúbke  $10 \mu$  a vo vzdialosti 0,2 mm (t. j. mriežka iba s jednou osnovou navzájom rovnobežných drôtov). Geometrická priezačnosť jednej mriežky je 95% a intenzita iónového zväzku po prechode celým spektrometrom (15 mriežok) klesne na 50%. Rám mriežky je z molybdenového plechu o hrúbke 0,35 mm a o vonkajšom priemere 53 mm. Drôtená osnova mriežky sa najprv navinutím volfrámového drôtu na oceľový rám o hrúbke 3 mm, ktorého okraje majú zárezy vo vzdialosti 0,2 mm. V strede rámu bol otvor o priemere 45 mm. Navijanie sa robí pod mikroskopom, kde sa rám dá otáčať a súčasne

posúvať mikrometrickým posuvom, čo umožňuje uložiť drôt postupne do zárezov na ráme. Po navinutí sa koniec a začiatok drôtu zaistí na ráme.

V mieste, kde majú byť pripojené drôty, je na molybdenový rám položená zlata spájka v tvare drôtu  $\varnothing = 0,2$  mm. Pomocou volfrámovej slučky z drôtu  $\varnothing 2$  mm, uloženej pod týmto miestom, možno rám vo vodíkovej atmosfére zohriat na teplotu tavenia zlata ( $1063^{\circ}\text{C}$ ), príom sa spájka rozteče na ploche tvaru medzikružia okolo vnútorného otvoru v molybdenovom ráme. Táto časť je pre lepšie roztečenie zlata niemerne zdrsnená. Tako pozlátený molybdenový rám sa položí na drôtenú osnovu navinutú na oceľovom ráme. V atmosfére vodíka je molybdenový rám zvrchu zohriaty volfrámovou slučkou, príom sa roztazené zlato rozteče po drôtoch osnovy. Volené uloženie rámu na osnovu zaistí bezpečné pritavenie všetkých 150 drôtov mriežky.

Rozhodujúcu úlohu pri natavovaní mriežky hrajú tri parametre: teplota volfrámovej slučky a jej vzdialenosť od molybdenového rámu; rýchlosť prúdenia vodíka cez pec a čas ohrevania.

Teplota volfrámovej slučky musí byť dostatočná, aby sa roztažilo zlato, a zároveň určuje teplotu volfrámovej osnovy, ktorá je prevažne zohriata výžarovaním a tepelnou vodivosťou vodíka. Teplota drôtu volfrámovej osnovy je tiež silno závislá od rýchlosťi prúdenia vodíka. Táto teplota je veľmi dôležitá, pretože určuje roztaženie drôtov hotovej mriežky za tepla a teda je jedným z parametrov určujúcich napätie drôtov hotovej mriežky. Pretože koeficient tepelnej roztažnosti molybdenu je väčší ako volfrámu, musí byť mriežka za tepla predprájať, aby po vychladnutí jej drôty neboli voľné, napätie nesmie však prekročiť medzu pevnosti volfrámu. Toto kritické nastavenie napäťia sa dá dosiahnuť teplotou oceľového rámu. Koeficient tepelnej roztažnosti volfrámu je  $58 \cdot 10^{-7}/^{\circ}\text{C}$  a oceľe približne  $140 \cdot 10^{-7}/^{\circ}\text{C}$ . Z toho vyplýva, že teplota oceľového rámu nemusí byť veľmi vysoká a dosťatočne ohriatie zaistí volfrámová slučka, i keď je od rámu pomerne dôleko. Keďže tepelná kapacita rámu je veľká, jeho teplota je daná časom ohrevania.

Na základe tohto teda môžeme povedať, že zatiaľ čo roztaženie volfrámovej drôtov osnovy je prevažne závislé od teploty volfrámovej slučky a od rýchlosťi prúdenia vodíka, ich napätie zasa závisí od doby ohrevania. Všetky tieto parametre sú veľmi kritické a boli nastavené experimentálne.

Ako prostriedok k nastaveniu parametrov môže slúžiť vzhľad hotovej mriežky. Slabé roztečenie zlata po volfrámových drôtoch mriežky známi, že teplota volfrámovej slučky je nízka, alebo rýchlo prúdi vodík. Pretrhnutie drôtov mriežky je spôsobené dlhým časom ohrevania alebo veľkou rýchlosťou prúdenia vodíka. Naproti tomu volné drôty na mriežke, ktoré však sú dobre pozlatené, sú spôsobené krátkym časom ohrevania. Ak je zlato slabо roztečené po drôtoch a tieto sú volné, je chyba v nízkej teplote ohrevacej slučky. Optimálne nastavené parametre sa kontrolovali takto: teplota volfrámovej slučky podľa napäťia na nej, rýchlosť prúdenia vodíka prietokom a čas stopkami. Presné dodržanie týchto parametrov a vzdialenosťi volfrámovej slučky od molybdenového rámu zaručilo reprodukovateľné výsledky.

Po nastavení molybdénového rámu na jednu stranu volfrámovej osnovy sa ocelový rám otočí a z druhej strany sa môže tým istým postupom nastaviť druhý molybdénový rám. Abi nedošlo k poškodeniu už hotovej mriežky na druhej strane, je do otvoru v ocelovom ráme vsunutý molybdénový plech, ktorý zabráni jej ohriatie vyčarovaním z ohrevacej slučky. Po nastavení oboch strán osnovy sa drôty na ráme prielezú, čím sa získajú dve mriežky. Vlhké konce drôtov sa odstráhnú pri nastavenom mieste. Vodíková pec, v ktorej sa mriežky robili, má rozmery  $130 \times 130 \times 320$  mm a je zhotovená zo sklenenej rúrky na koncoch opatrené kovovými prírubami s gumovým tesnením.

Elektronické obvody potrebné na prevádzku spektrometra.

Teraz spomenieme konštrukciu niektorých elektronických obvodov. Stabilizátor emisného prúdu, ktorý sa používa v ionizačných manometroch. Stabilizovať možno elektrónový prúd v rozsahu  $0,3 - 3$  mA, pričom urýchľujúce napätie pre elektróny sa dá meniť od 30 do 60 V.

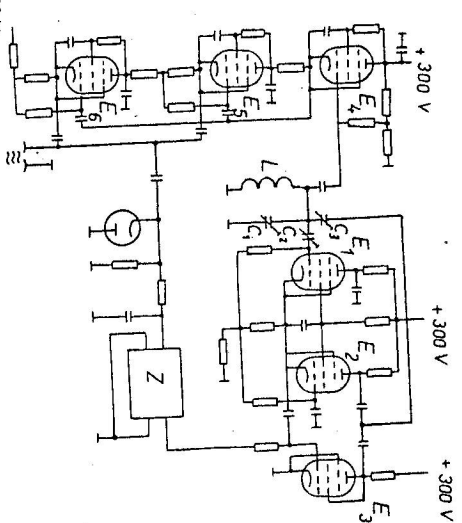
Premenný parameter pri snímaní hmotového spektra môže byť, ako vidno zo vzáhu (1), urýchlijujúce napätie  $U_i$  pre iony, alebo frekvencia vysokofrekvenčného napäťia  $f$ . V tomto pripade sa zwolila druhá možnosť, hoci sa bežne používa ako premenný parameter urýchlijujúce napätie [2, 3]. Použitie ladielného generátora sice prináša určité konštrukčné ťažosti, ale na druhej strane možno snímať širšie hmotové spektrum a dá sa lepšie splniť podmienka lineárnej činnosti analyzátora v celom rozsahu hmot ionov. Pre správnu činnosť analyzátora je nutné, aby vysokofrekvenčné napätie zachovávalo čistý sinusový priebeh a veľkosť amplitúdy pri zmene frekvencie a aj záťaže. Okrem toho generátor musí dodávať efektívne napätie asi  $10$  V s možnosťou regulácie.

Schéma použitého vysokofrekvenčného generátora je na obr. 2. Elektrónky  $E_1$  a  $E_2$  tvoria dvojboľový oscilátor s katódovou väzbou. Oscilačný obvod sa skladá z cievky  $L$  a kondenzátora  $C_1$  s lineárnym priebehom kapacitý čo podľa vzáhu (1) dáva lineárnu závislosť hmoty  $M$  od uhla otočenia. Kondenzátormi  $C_2$  a  $C_3$  možno nastaviť optimálnu väzbu oscilačného obvodu s elektrónkami  $E_1$  a  $E_2$ . Stabilizácia amplitúdy vysokofrekvenčného napäťia sa urobila pomocou spätnej väzby. Usmernené vysokofrekvenčné napätie z výstupu generátora sa porovnáva s referenčným napäťím a pripadná odchýlka sa zosilňuje rovnosmerným zosilňovačom  $Z$ . Zosilnené chybové napätie potom ovláda knítku oscilátora prostredníctvom elektrónky  $E_3$ , ktorá do kladnej spätnej väzby oscilátora zavádzá spätnú väzbu zápornú. Toto zapojenie má proti iným spôsobom reguláciu výhodu v tom, že pri malých amplitúdach vysokofrekvenčného napäťia pracujú všetky elektrónky oscilátora (t. j.  $E_1$ ,  $E_2$  a  $E_3$ ) v priamkovej časti mriežkovej charakteristiky. To znamená, že vysadenie kmitov nastáva pri menších amplitúdach. Tento spôsob umožňoval regulať vysokofrekvenčné napätie zmenou predpäťia  $E_3$  od  $0,2$  V až do desiatok voltov aj v takom režime oscilátora, keď iné spôsoby regulácie spôsobili vysadenie kmitov už pri amplitúdach  $10$  V.

Čistota sínusového napäťia je zaistená odberom z oscilačného obvodu  $LC_1$  cez

katódový sledovač  $E_4$ . Aby sa znížila výstupná impedancia generátora a zároveň obmedzil vplyv zmeny záťaže na frekvenciu oscilátora v dôsledku Millerovho efektu, sú za tento katódový sledovač zaradené dva paralelne spojené sledovače  $E_5$  a  $E_6$ . Všetky tri sledovače sú z hľadiska rovnomerného napájania zapojené v sérii, takže prúdový odber je taky istý ako u jednej elektrónky.

Takto skonštruovaný generátor bol spojené ladielný od  $2$  do  $5,2$  MHz, pričom



Obr. 2

amplitúda vysokofrekvenčného napäťia sa nemení viac ako o  $0,2\%$ . Zmenou referenčného napäťia je amplitúda regulovateľná od  $5$  do  $14$  V. Na výstup generátora možno pripojiť kapacitnú záťaž až  $80$  pF, pričom skreslenie vysokofrekvenčného napäťia nepresiahne dovolenú hodnotu pre správnu činnosť analyzátora.

Na zosilnenie iónového prúdu v obvode kolektora sa použil zosilňovač s konaktným modulátorom na vstupe. Úroveň porúch od činnosti prerušovača prepočítaná na prúd bola  $5 \cdot 10^{-14}$  A. Činnosť spektrometra bola preskúmaná aj pomocou zosilňovača s kmitajúcim kondenzátorm na vstupe, čo zvýšilo citlosť spektrometra.

#### DOSIAHNUTÉ VÝSLEDKY

Činnosť analyzátora je dokumentovaná dvoma záznamami. Spektrum na obr. 3 je zo zvyškových plynov v spektrometre, ku ktorým sa napístať ešte kyslík uhlíctý a acetylén, ktorým odpovedajú hmoty  $44$  a  $26$ . Celkový tlak bol  $5 \cdot 10^{-5}$  mm Hg.

Veľká výška čiar  $12$  a  $16$  je asi spôsobená dissociáciou pripustených plynov. Na obr. 4 je spektrum izotopov argónu  $^{40}\text{Ar}$  a  $^{36}\text{Ar}$ , vidno aj izotop  $^{38}\text{Ar}$ . Celkový tlak bol  $4 \cdot 10^{-5}$  mm Hg. Úroveň zvyškových plynov by bolo možné ešte znížiť odpyneňom iónového zdroja. Tento záznam bol získaný pomocou zosilňovača

s kmitajúcim kondenzátorom. Obidve spektrá sa získali pri vysokofrekvenčnom napäti 8 V<sub>c</sub>. Kompenzačný potenciál bol 16 V a pomer  $K = 0,96$ . Pomere vyšoká

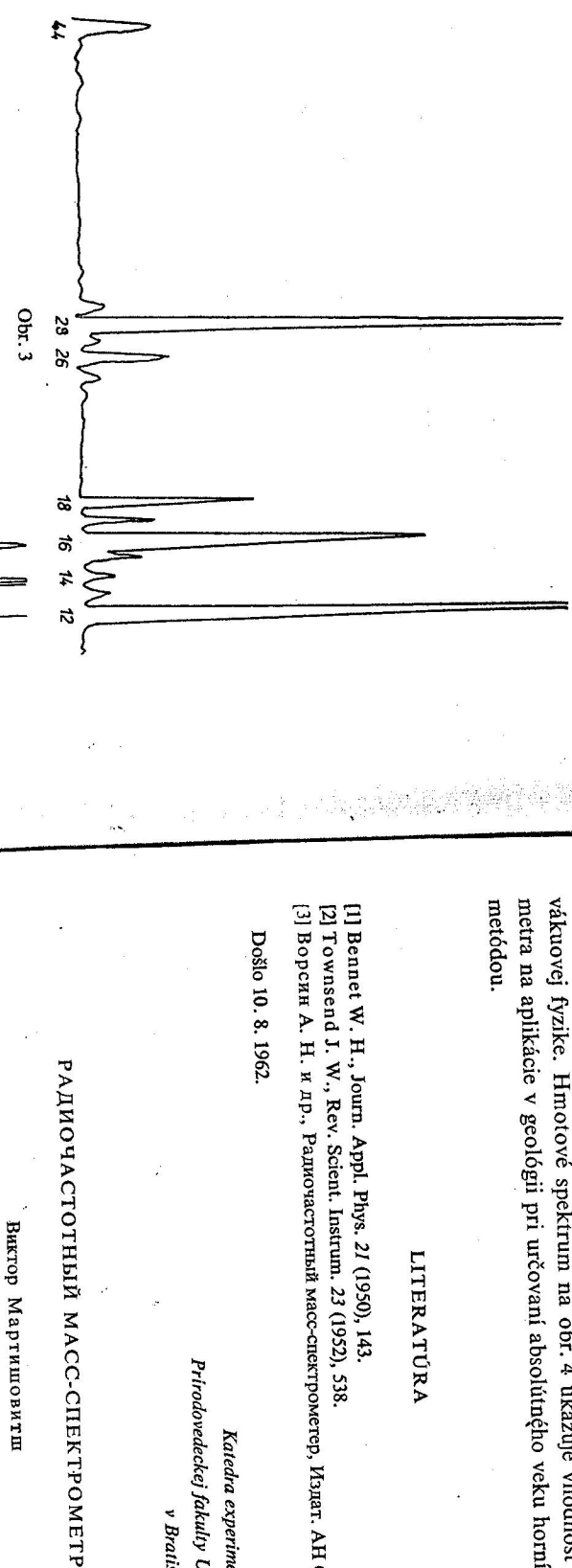
Opisaný vysokofrekvenčný hmotový spektrometer sa použije pri vyšetrovaní tvorby viacnásobných a komplexných iónov vo výboji a tiež na niektoré práce vo vakuovej fyzike. Hmotové spektrum na obr. 4 ukazuje vhodnosť využitia spektrometra na aplikáciu v geológii pri určovaní absolútneho veku hornín argón-káliovou metódou.

## LITERATÚRA

- [1] Bennet W. H., Journ. Appl. Phys. 21 (1950), 143.
- [2] Townsend J. W., Rev. Scient. Instrum. 23 (1952), 538.
- [3] Borodin A. N. и др., Радиочастотный масс-спектрометр, Издат. АН СССР, Москва 1959.

Došlo 10. 8. 1962.

*Katedra experimentálnej fyziky  
Prírodovedeckej fakulty Univerzity Komenského  
v Bratislave*



Obr. 3

## РАДИОЧАСТОТНЫЙ МАСС-СПЕКТРОМЕТР

Виктор Мартишовитш

### Резюме

hodnota  $K$  svedčí o dosťatočnej presnosti násťavenia vzdialenosťi v analyzátori a o využívajúcej čistote priebehu vysokofrekvenčného napäcia. Uvedeným parametrom podľa vzťahu (3) odpovedá rozlišovacia schopnosť  $R = 27$ , čo súhlasí zhrubu aj so záznamom.

Citlivosť posúdená podľa  $^{36}\text{Ar}$  je  $2 \cdot 10^{-2}$  objemových percent. Pri celkovom tlaku  $4 \cdot 10^{-5}$  mm Hg možno ďalej merat parciálny tlak  $8 \cdot 10^{-9}$  mm Hg, ktorému odpovedá iónový prúd asi  $10^{-13}$  A. Zdvihnuté minimum medzi hmotovými číslami 15 a 16 a 27 a 28 sa nepodarilo odstrániť. Je zaujímavé, že tento istý jav je aj na spektrách v práci [3]. Na hmotovom spektri v práci [2] možno zdvíhnuté minimum vidieť taktiež medzi hmotovými číslami 15 a 16. Medzi hmotami 27 a 28 tento efekt nie je viditeľný pre nižšiu rozlišovaciu schopnosť.

Obr. 4

В работе проведен детальный математический анализ действия радиочастотного масс-спектрометра типа Беннета. На основе этого анализа был сконструирован масс-спектрометр с трехступенчатым анализатором. Описана также технология изготовления сеток анализатора. Чувствительность масс-спектрометра  $2 \cdot 10^{-2}$  объемного процента. Его можно использовать для определения абсолютного геологического возраста пород калий-argonовым методом.

## HIGH FREQUENCY MASS SPECTROMETER

Виктор Мартишовитш

### Summary

In the paper a precise mathematical analysis of the work of the rf. mass spectrometer Bennett's type is described. On the principle of this analysis a mass spectrometer was constructed the analyser of which is composed of three stages. The production of the grids of the analyser is described too. The constructed mass spectrometer has a sensitivity of  $2 \cdot 10^{-2}$  volume percent and it could be possible to use it for the measuring of the absolute age of minerals by means of argonium-calcium method.